

ساخت اتفاق یونش چاهک دار مرتبط با هوای آزاد و ارزیابی محاسباتی و اندازه‌گیری پارامترهای عملکردی آن

کورش اربابی^{۱*}, غلامرضا رئیس علی^۲, مصطفی غفوری^۳, ارجمند شاهور^۴, سعید حمیدی^۵

- ۱- دانشجوی دکترا فیزیک پزشکی، پژوهشکده تحقیقات کشاورزی، پزشکی و صنعتی، پژوهشگاه علوم و فنون هسته‌ای، سازمان انرژی اتمی ایران
- ۲- دانشیار، پژوهشکده کاربرد پرتوها، پژوهشگاه علوم و فنون هسته‌ای، سازمان انرژی اتمی ایران
- ۳- کارشناس ارشد فیزیک هسته‌ای، معاونت تحقیقات و فناوری هسته‌ای، سازمان انرژی اتمی ایران
- ۴- مریب، پژوهشکده تحقیقات کشاورزی، پزشکی و صنعتی، پژوهشگاه علوم و فنون هسته‌ای، سازمان انرژی اتمی ایران
- ۵- کارشناس فیزیک هسته‌ای، پژوهشکده تحقیقات کشاورزی، پزشکی و صنعتی، پژوهشگاه علوم و فنون هسته‌ای، سازمان انرژی اتمی ایران
- ۶- استادیار، گروه فیزیک، دانشکده علوم پایه، دانشگاه اراک

تاریخ دریافت نسخه اصلاح شده: ۸۷/۲/۴ تاریخ پذیرش مقاله: ۸۷/۴/۱۹

چکیده

مقدمه: اتفاق یونش چاهک دار مرتبط با هوای آزاد یکی از سیستم‌های اتفاق گیری برای تعیین قدرت چشممه‌های برآکی تراپی است. این اتفاق از محفظه‌ای استوانه‌ای ساخته می‌شود که در وسط و در امتداد محور آن حفره‌ای استوانه‌ای برای قرار دادن چشممه‌های مورد اندازه‌گیری تعییه شده است.

مواد و روش‌ها: با بررسی عملکرد اتفاق‌های یونش چاهک دار مرتبط با هوای آزاد و با استفاده از کد MCNP-4C به عنوان ابزار محاسباتی، اتفاق مورد طراحی شبیه‌سازی شد و پس از ارزیابی پاسخ محاسباتی و بدست آوردن نتیجه مطلوب اتفاق یونش چاهک دار ساخته شد. پارامترهای عملکردی این اتفاق شامل ولتاژ کاری، میزان جریان نشتی، تکرار پذیری پاسخ، مکان مرجع، ضریب بازترکیب، ضریب قطبش و پایداری پاسخ برای هر یک از چشممه‌های ^{137}Cs , ^{57}Co و ^{241}Am مورد بررسی قرار گرفت.

نتایج: مقدار جریان نشتی اتفاق در ولتاژ کاری آن در مقایسه با پاسخ اتفاق برای چشممه‌های مذکور قبل صرفظیر بود. پاسخ اتفاق ساخته شده برای هر یک از چشممه‌های ^{137}Cs , ^{57}Co و ^{241}Am تکرار پذیر است و مکان مرجع اتفاق ساخته شده برای هر یک از چشممه‌های مذکور در ۶ سانتیمتری کف اتفاق بدست آمد. ضریب بازترکیب در اتفاق یونش مورد نظر بسیار کم است و مقدار ضریب قطبش نزدیک به ۱ است و از این‌رو از تأثیر این دو ضریب در اندازه‌گیری‌ها صرفظیر شد. نزدیک بودن مقادیر اندازه‌گیری در فاصله‌های مختلف زمانی نشان دهنده پایداری پاسخ اتفاق برای هر یک از چشممه‌های مورد آزمایش بود. همچنین نتایج حاصل از جریان اندازه‌گیری شده اتفاق ساخته شده به ازای واحد قدرت چشممه با نتایج متناظر پاسخ اتفاق شبیه‌سازی، برای مکان‌های مختلف چشممه در اتفاق در محدوده‌ی انرژی چشممه‌های مورد آزمایش مقایسه شد.

بحث و نتیجه‌گیری: نتایج حاصل از این مقایسه نشان می‌دهد که مکان مرجع اندازه‌گیری برای هر یک از چشممه‌های مذکور در هر دو اتفاق (ساخته شده و شبیه‌سازی شده) یکی است و بینگر رفتار مشابهی هستند. با توجه به خصوصیات عملکردی خوب اندازه‌گیری شده برای اتفاق یونش ساخته شده، می‌توان از آن برای اندازه‌گیری قدرت چشممه‌های برآکی تراپی با انرژی بیشتر از ۵۰ کیلو الکترون ولت استفاده کرد. (مجله فیزیک پزشکی ایران، دوره ۴، شماره ۱۶ و ۱۷، پاییز و زمستان ۱۰:۸۶-۱)

واژگان کلیدی: اتفاق یونش چاهک دار، چشممه‌های گاما برآکی تراپی، قدرت کرمای هوا، شبیه سازی مونت کارلو

* نویسنده مسؤول: کورش اربابی

آدرس: کرج، انتهای رجائی شهر، بلوار موزن، بلوار مرکز تحقیقات هسته‌ای، پژوهشکده تحقیقات کشاورزی، پزشکی و صنعتی

karbabi@nrcam.org

تلفن: +۹۸ (۰۲۶۱) ۴۴۲۴۰۷۳

صفندوق پستی: ۴۹۸-۴۸۵

۱- مقدمه

این نوع اتاقک (نقطه مرجع) مکانی است که اگر مرکز چشمہ در آنجا قرار بگیرد، پاسخ اتاقک بیشینه و تغییرات آن کمینه باشد که در این صورت، عدم قطعیت در تعیین نرخ کرمای هوای مرجع^۱ کمینه خواهد بود [۹و۷].

۱-۲- محاسبات

با توجه به اینکه در محدوده ولتاژ کاری اتاقک‌های یونش، آهنگ باز ترکیب یون‌های تولید شده در حجم حساس اتاقک ناچیز است، تعداد یون‌های تولید شده در اتاقک و در نتیجه جریان تولید شده در مدار متصل به الکترومتر را می‌توان با فرض اینکه کل انرژی جذب شده در حجم حساس موجب یونش اتم‌های هوا می‌شود، با استفاده از روش مونت‌کارلو شبیه‌سازی کرد. در این تحقیق اتاقک مورد طراحی با استفاده از کد مونت‌کارلو MCNP-4C [۱۰] شبیه‌سازی شد. برش عرضی از هندسه شبیه‌سازی شده در شکل ۱ نشان داده شده است. چگالی هوای حجم حساس اتاقک، با توجه به میزان دما و فشار آزمایشگاه در زمان اندازه‌گیری هر چشمہ با استفاده از رابطه (۱) محاسبه شده است [۱۱].

(۱)

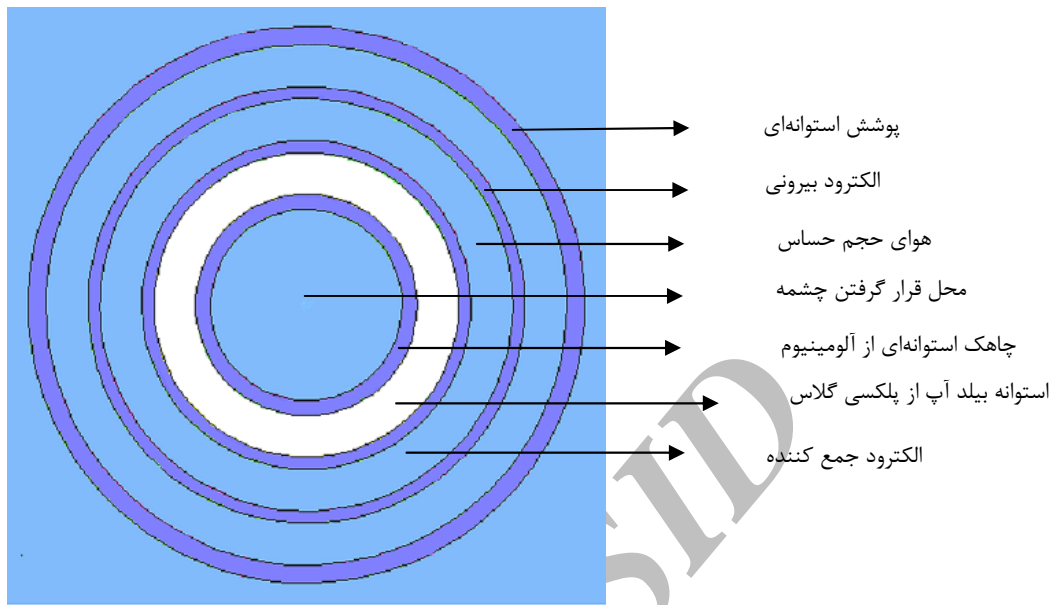
$$\rho(g/cm^3) = 0.001293 \times \frac{29315P}{1013.25(273.15 + T)}$$

که در آن P و T به ترتیب فشار (بر حسب میلی‌بار) و دمای محیط (بر حسب درجه سلسیوس) در زمان اندازه‌گیری است.

با توجه به گسترش روز افزون کاربرد منابع پرتوزا در درمان بیماری‌ها و به خصوص چشممه‌های برآکی تراپی در درمان تومورهای کوچک و لزوم اعمال دقت در کاربرد این چشممه‌ها و نهایتاً پرتودهی دقیق موضع مشخص شده در بدن بیمار، بکاربردن سیستم‌های اندازه‌گیری که با دقت بالایی بتوانند شدت چشممه‌های مورد استفاده را اندازه‌گیری کنند، اجتناب ناپذیر است [۱]. اتاقک‌های یونش چاهکدار مرتبط با هوای آزاد یکی از سیستم‌های اندازه‌گیری برای تعیین قدرت چشممه‌های برآکی تراپی است [۶-۲]. با توجه به خصوصیات مناسب این نوع اتاقک‌ها و فقدان مسئله نشت گاز از حجم حساس به دلیل ارتباط آن با هوای آزاد [۷]، در این تحقیق ساخت این نوع اتاقک مورد توجه قرار گرفت.

۲- مواد و روشها

اتاقک یونش چاهکدار مرتبط با هوای آزاد برای کالیبراسیون چشممه‌های برآکی تراپی استفاده می‌شود. این اتاقک‌ها دارای هندسه استوانه‌ای هستند که در وسط و در امتداد محور آن چاهکی استوانه‌ای به منظور قرار دادن چشممه‌های مورد اندازه‌گیری وجود دارد و حجم حساس این اتاقک‌ها (فضای بین الکترودها) با هوای بیرون در تماس است، از این‌رو باید ضریب تصحیح مربوط به چگالی هوا (فشار و دما) در اندازه‌گیری‌ها اعمال شود [۸و۱]. ناحیه مناسب اندازه‌گیری در



شکل ۱- برش عرضی از اتاقک چاهکدار شبیه‌سازی شده با کد MCNP

استفاده شد و مقدار جریان به ازای واحد قدرت کرمای هوای چشمی از رابطه (۲) محاسبه شد [۱۳].

$$I \left(\frac{A}{\mu Gm^2 h^{-1}} \right) = 8.17 \times 10^{-15} * \frac{F8}{F6} \quad (2)$$

در رابطه (۲) تالی F8 * انرژی جذب شده بر حسب مگاالکترون ولت در حجم حساس اتاقک چاهکدار شبیه‌سازی شده است و تالی F6 کرمای فوتونها بر حسب مگا الکترون ولت بر گرم در حجم حساس اتاقک یونش کروی LS01 در فاصله مرجع یک متری، می‌باشد.

۲-۲- ساخت اتاقک یونش چاهکدار

با استفاده از طرح به دست آمده از شبیه‌سازی و الگو گرفتن از چند اتاقک یونش موجود (نظیر اتاقک یونش ساخته شده)، نقشه کلیه قطعات اتاقک یونش چاهک دار که شامل ۴۷ قطعه بود ترسیم و قطعات بر اساس آن‌ها ساخته شدند.

در اتاقک یونش چاهک دار ساخته شده، الکترود داخلی به صورت یک پوسته استوانه‌ای با شعاع خارجی ۲۵۵ سانتی مترو ضخامت

جدول ۱- نیمه عمر و طیف انرژی فوتون‌های گسیلی چشم‌های مورد استفاده در سه گستره انرژی مختلف [۱۲]

چشم	نیمه عمر	E_i (MeV)	$Y_i(\%)$
^{137}Cs	۳۰,۰۴ سال	۰,۶۶۱۷	۸۵,۱۰
		۰,۱۲۲۱	۸۵,۶
^{60}Co	۲۷۱,۷۹ روز	۰,۱۳۶۵	۱۰,۷
		۰,۰۱۴۴	۹,۱۶
		۰,۰۵۹۵	۳۵,۹
^{241}Am	۴۳۲,۲ سال	۰,۰۲۶۴	۲,۴۰
		۰,۰۳۳۲	۰,۱۲۶
		۰,۰۴۳۴	۰,۰۷۴

بیناب انرژی و نیمه عمر چشم‌های به کار رفته در این تحقیق شامل ^{137}Cs ، ^{57}Co و ^{241}Am است که در سه گستره انرژی مختلف قرار می‌گیرند (جدول ۱). با توجه به اینکه شدت چشم‌های مذکور توسط اتاقک کروی LS01 تعیین شده است، برای محاسبه قدرت کرمای هوای چشم‌های، از نتایج محاسبه اتاقک کروی LS01 شبیه‌سازی شده با کد MCNP که توسط رئیس‌علی و همکارانش انجام شده بود،

۳-۲- بررسی عملکرد اتاقک یونش ساخته شده

برای اندازه‌گیری پاسخ اتاقک یونش چاهکدار ساخته شده از چشممه‌های ^{137}Cs , ^{57}Co , ^{241}Am استفاده شد. چشممه ^{137}Cs نوع لوله‌ای بوده و اکتیویته آن در زمان اندازه‌گیری $0/26$ میلی کوری 53 بود. چشممه ^{57}Co با اکتیویته $5/09\text{mCi}$ در فاز آبی به صورت محلول در 7 میلی لیتر آب در پژوهشکده تحقیقات کشاورزی، پزشکی و صنعتی کرج تولید گردید و چشممه ^{241}Am ، از نوع کپسولی مدل 101 RCC X ساخت شرکت 14 mCi Nycomed Amersham انگلستان با اکتیویته $[14]$. قدرت چشممه‌های مذکور که توسط رئیس‌علی و همکارانش اندازه‌گیری شده در جدول ۲ آمده است [۱۳].



شکل ۲- قطعات ساخته شده اتاقک چاهکدار مرتبط با هوای آزاد

$0/2$ سانتی مترو الکترود خارجی به صورت پوسته استوانه‌ای هم‌مرکز با الکترود داخلی با شعاع خارجی $3/65$ سانتی مترو ضخامت $0/2$ سانتی متر هستند (شکل ۲). جنس هر دو الکترود از آلیاژ آلومینیوم (آلیاژ $10/75$) طبق محاسبات انجام شده توسط رئیس‌علی و همکاران [۱۳] بوده و طول هر کدام 12 سانتی متر می‌باشد. در فضای بین دو الکترود که حجم حساس اتاقک را تشکیل می‌دهد، هوا وجود دارد و این حجم حدود 200 سانتی متر مکعب می‌باشد. در قسمت دیواره داخلی الکترود جمع‌کننده، پوسته‌ای استوانه‌ای به ضخامت $7/8$ سانتی متر و ارتفاع $11/3$ سانتی متراز جنس پرسپکس (PMMA) برای ایجاد شرایط تعادل الکترونی در انرژی‌های بالا در نظر گرفته شده است. در بالا و پایین الکترودها، حلقه‌های حفاظتی^۱ (شکل ۲) و عایق‌هایی برای جلوگیری از نشت الکتریکی در داخل اتاقک یونش قرار داده شده است. جنس این حلقه‌ها از آلومینیوم و عایق‌هایی که در بالا و پایین الکترود جمع‌کننده قرار می‌گیرند از جنس تفلون و عایق‌هایی که در بالا و پایین الکترود بیرونی و در بالا و پایین حلقه‌های حفاظتی قرار می‌گیرد از جنس پرسپکس در نظر گرفته شده‌اند. روی اتاقک پوششی استوانه‌ای از آلومینیوم و در قسمت بالای آن چاهکی به منظور قرار دادن چشممه در اتاقک تعییه شده است که به صورت پوسته‌ای استوانه‌ای با شعاع خارجی $1/85$ سانتی متر و ضخامت $0/25$ سانتی متر با ارتفاع داخلی 14 سانتی متراز جنس آلومینیوم است. پین‌هایی که به منظور اتصالات الکتریکی در اتاقک استفاده می‌شود از جنس برنج ساخته شدند. تصاویری از اجزای اتاقک ساخته شده در شکل ۲ و تصویر اتاقک پس از ساخت در شکل ۳ نشان داده شده است. پس از ساخت اتاقک و تعیین ولتاژ کاری آن، تکرار پذیری، تعیین مکان مرجع، اثر بازترکیب، اثر قطبش و پایداری مورد بررسی قرار گرفت.

1- Guard Rings

ساخت اتاقک یونش چاهک دار

با استفاده از چشم‌های ^{137}Cs ، ^{57}Co و ^{241}Am پارامترهای ولتاژ کاری، جریان نشتی، تکرارپذیری، تعیین مکان مرجع، اثر بازترکیبی، اثر قطبش و پایداری اتاقک اندازه‌گیری شدند که در زیر شرح داده شده‌اند.



شکل ۳- اتاقک یونش چاهکدار ساخته شده

جدول ۲- قدرت کرمای هوا مربوط به چشم‌های ^{137}Cs ، ^{57}Co و ^{241}Am [۱۳]

چشم	^{137}Cs	^{57}Co	^{241}Am
$S_K(\mu\text{Gy m}^2\text{h}^{-1})$	$164 \pm .2$	$2.66 \pm .3$	$0.545 \pm .3$

مدار خارجی نشان دهنده نرخ تشکیل تمام بارها حین یونیزاسیون درون حجم فعال اتاقک است [۱۵].

به منظور تعیین ولتاژ کاری اتاقک یونش ساخته شده پاسخ آن با استفاده از الکترومتر نوع PTW UNIDOS 10002 در ولتاژهای مختلف (۵۰ تا ۴۰۰ ولت) اندازه‌گیری شد. با توجه به انرژی نسبتاً بالای چشممه ^{137}Cs و بالا بودن پاسخ اتاقک برای این چشممه نسبت به دو چشممه ^{57}Co و ^{241}Am و در نتیجه پایین بودن خطای اندازه‌گیری و هم چنین بالابودن نیمه عمر آن نسبت به این دو چشممه، ولتاژ کاری اتاقک و پایداری اتاقک برای چشممه ^{137}Cs مورد بررسی قرار گرفت (جدول ۳). با توجه به اندازه‌گیری‌ها مشخص شد که این محدوده منطقه اشباع یونی است و برای اطمینان بیشتر از حذف اثر بازترکیب، ولتاژ کاری ۳۰۰ ولت در نظر گرفته شد.

۱-۳-۲- تعیین ولتاژ کاری اتاقک یونش ساخته شده
تحت شرایطی که بازترکیبی ناچیز است و تمام بارها جمع‌آوری می‌شوند جریان حالت پایه با اندازه‌گیری دقیق نرخ جفت یون‌های تولید شده درون حجم بدست می‌آید. در ولتاژی که با اندازه کافی بالا باشد، میدان الکتریکی به اندازه کافی بزرگ هست که به طور مؤثر بازترکیبی را به مقادیر ناچیز کاهش دهد، و تمام بارهای اولیه به وجود آمده در فرآیند یونیزاسیون در جریان یونی شرکت کنند، ولی افزایش بیشتر ولتاژ نمی‌تواند جریان را افزایش دهد، زیرا تمام بارها جمع‌آوری می‌شوند و نرخ ایجاد بارها نیز ثابت است. از این رو این ناحیه، ناحیه اشباع یون است که به طور معمول اتاقک یونش در آن ناحیه کار می‌کند. تحت این شرایط جریان اندازه‌گیری شده در

جدول ۳- تعیین ولتاژ کاری اتاقک با استفاده از چشممه ^{137}Cs

ولتاژ (V)	جریان اتاقک به ازای واحد زمان(نانو آمپر)
۴۰۰	$0.128 \pm .004$
۳۵۰	$0.128 \pm .005$
۳۰۰	$0.128 \pm .006$
۲۵۰	$0.128 \pm .004$
۲۰۰	$0.128 \pm .002$
۱۵۰	$0.128 \pm .002$
۱۰۰	$0.128 \pm .002$
۵۰	$0.127 \pm .001$

چشمehای ^{57}Co , ^{137}Cs و ^{241}Am اندازهگیری شد و با استفاده از رابطه^(۳) ضریب تصحیح بازترکیب ($k_{recombin}$) تعیین شد. در این رابطه M_1 , M_2 , V_1 و V_2 به ترتیب مقدار اندازهگیری شده در دو ولتاژ V_1 و V_2 است^[۱۶].

$$k_{recombin} = \frac{\left(\frac{V_1}{V_2}\right)^2 - 1}{\left(\frac{V_1}{V_2}\right)^2 - \frac{M_1}{M_2}} \quad (۳)$$

۶-۳-۲- بررسی اثر قطبش

مثبت یا منفی بودن ولتاژ الکترود داخلی، بیانگر مثبت یا منفی بودن قطبش اتافک است که در عمل پاسخ اتافک کمی اختلاف بین این دو حالت نشان می‌دهد. به این منظور بررسی اثر قطبش پاسخ اتافک در مکان مرجع در دو ولتاژ V و $-V$ اندازهگیری شد و با استفاده از رابطه^(۴) ضریب قطبش ($k_{Polarity}$) برای هر کدام از چشمehای ^{137}Cs , ^{57}Co و ^{241}Am تعیین شد. در رابطه^(۴) مقدار M_+ و M_- مقدار اندازهگیری اندازهگیری شده در دو ولتاژ مثبت و منفی اعمال شده به الکترود جمع کننده (داخلی) است و M_{\pm} مقدار اندازهگیری شده در قطبش به کار رفته در اندازهگیری‌های اصلی است^[۷] و در بررسی اثر قطبش در اتافک $-M$ در مخرج رابطه^(۴) در نظر گرفته شد.

$$k_{Polarity} = \frac{M_+ + M_-}{2M_{\pm}} \quad (۴)$$

۷-۳-۲- بررسی پایداری پاسخ اتافک

برای بررسی پایداری پاسخ اتافک، در فاصله‌های زمانی یک ماهه (برای مدت ۳ ماه)، پاسخ اتافک برای هر سه چشمه در مکان مرجع اندازهگیری شد که مقدار میانگین خطای آن $\pm 0.03\%$ بود. نزدیک بودن این مقادیر نشان‌دهنده پایداری پاسخ اتافک در طول زمان است که نتایج پس از تصحیح اثر واپاشی چشمه و تصحیح فشار و دما در جدول ۴ آورده شده‌اند.

۲-۳-۲- تعیین جریان نشتی اتافک

برای بررسی جریان نشتی اتافک، پاسخ اتافک بدون حضور چشمehای اندازهگیری شد و مقدار جریان نشتی در حدود 10^{-14} آمپر اندازهگیری گردید. بنابراین با توجه به کم بودن جریان نشتی در برابر جریان حاصل از اندازهگیری چشمehای که در حد پیکوآمپر می‌باشد، می‌توان از آن در اندازهگیری‌ها صرف نظر کرد.

۳-۳-۲- بررسی تکرارپذیری پاسخ اتافک

به منظور بررسی تکرارپذیری پاسخ اتافک، حداقل ۵ بار اندازهگیری در هر مکان چشمه در اتافک انجام شد. مقدار خطای موجود در اندازهگیری نشان دهنده میزان تکرارپذیری پاسخ اتافک است.

۴-۳-۲- اندازهگیری جریان به منظور تعیین مکان مرجع اتافک برای هر یک از چشمehای ^{137}Cs , ^{57}Co و ^{241}Am پاسخ اتافک یونش چاهک دار ساخته شده برای مکان‌های مختلف چشمه در اتافک برای هر یک از چشمehای ^{137}Cs , ^{57}Co و ^{241}Am با استفاده از الکترومتر نوع UNIDOS PTW 10002 اندازهگیری شد و نقطه مرجع اتافک برای هر کدام از این چشمehا تعیین شد. در این حالت چشمه ابتدا در کف اتافک قرار داده شد سپس در گامهای یک سانتیمتری، چشمه به سمت بالا حرکت داده شد و جریان اتافک اندازهگیری گردید.

۵-۳-۲- بررسی اثر باز ترکیب

در عمل، بار جمع‌آوری شده توسط الکترودهای اتافک یونش کمتر از بار تولید شده توسط پرتو یونساز است که علت آن، تلفات ناشی از بازترکیب و نفوذ بعضی یونهای مثبت و منفی به فضای بین دو الکترود است.

به منظور بررسی اثر بازترکیب در اتافک یونش چاهک دار، پاسخ اتافک در دو ولتاژ -300 و -150 ولت برای هر یک از

جدول ۴- بررسی پایداری اتفاق یونش چاهکدار برای مدت ۶ ماه

چشممه	ماه اول	ماه دوم	ماه سوم
^{137}Cs	$0,105 \text{ (nA)} \pm 0,04$	$0,106 \text{ (nA)} \pm 0,02$	$0,105 \text{ (nA)} \pm 0,03$
^{57}Co	$6,160 \text{ (pA)} \pm 0,06$	$6,191 \text{ (pA)} \pm 0,1$	$6,427 \text{ (pA)} \pm 0,01$
^{241}Am	$1,783 \text{ (pA)} \pm 0,1$	$1,825 \text{ (pA)} \pm 0,2$	$2,089 \text{ (pA)} \pm 0,1$

نتایج اندازه‌گیری پاسخ اتفاق در مکان مرجع اتفاق در دو ولتاژ -300V و -150V به منظور بررسی اثر بازترکیب اتفاق یونش چاهکدار برای هر یک از چشممه‌های ^{137}Cs ، ^{57}Co و ^{241}Am در جدول ۵ آمده است و در آن، مقدار $k_{recombin}$ برای هر یک از چشممه‌ها تعیین شده است. همچنان نتایج اندازه‌گیری پاسخ اتفاق در مکان مرجع اتفاق در دو ولتاژ $+300\text{V}$ و -300V برای چشممه‌های ^{137}Cs ، ^{57}Co و ^{241}Am به منظور بررسی اثر قطبش در جدول ۶ آمده است و در آن مقدار $k_{polarity}$ برای هر یک از چشممه‌ها تعیین شده است.

۴- نتایج

نتایج حاصل از مقدار جریان اندازه‌گیری شده به ازای واحد قدرت چشممه در حجم حساس اتفاق چاهکدار ساخته شده و جریان محاسبه شده اتفاق یونش چاهکدار شبیه‌سازی شده برای مکان‌های مختلف چشممه در اتفاق برای هر یک از چشممه‌های ^{137}Cs ، ^{57}Co و ^{241}Am همراه با مقادیر خطای (با ضریب پوششی $k=2$) در شکل ۴ آمده است. مکان مرجع اتفاق ساخته شده برای هر یک از چشممه‌های ^{137}Cs ، ^{57}Co و ^{241}Am در ۶ سانتیمتری کف اتفاق بدست آمد.

جدول ۵- تعیین $k_{recombin}$ در اندازه‌گیری‌های پاسخ اتفاق یونش چاهکدار ساخته شده

چشممه	-150V	-300V	$k_{recombin}$
^{137}Cs	$0,127 \text{ (nA)} \pm 0,01$	$0,128 \text{ (nA)} \pm 0,02$	$1,003 \pm 0,2$
^{57}Co	$4,218 \text{ (pA)} \pm 0,2$	$4,216 \text{ (pA)} \pm 0,2$	$0,999 \pm 0,3$
^{241}Am	$1,456 \text{ (pA)} \pm 0,1$	$1,471 \text{ (pA)} \pm 0,3$	$1,007 \pm 0,2$

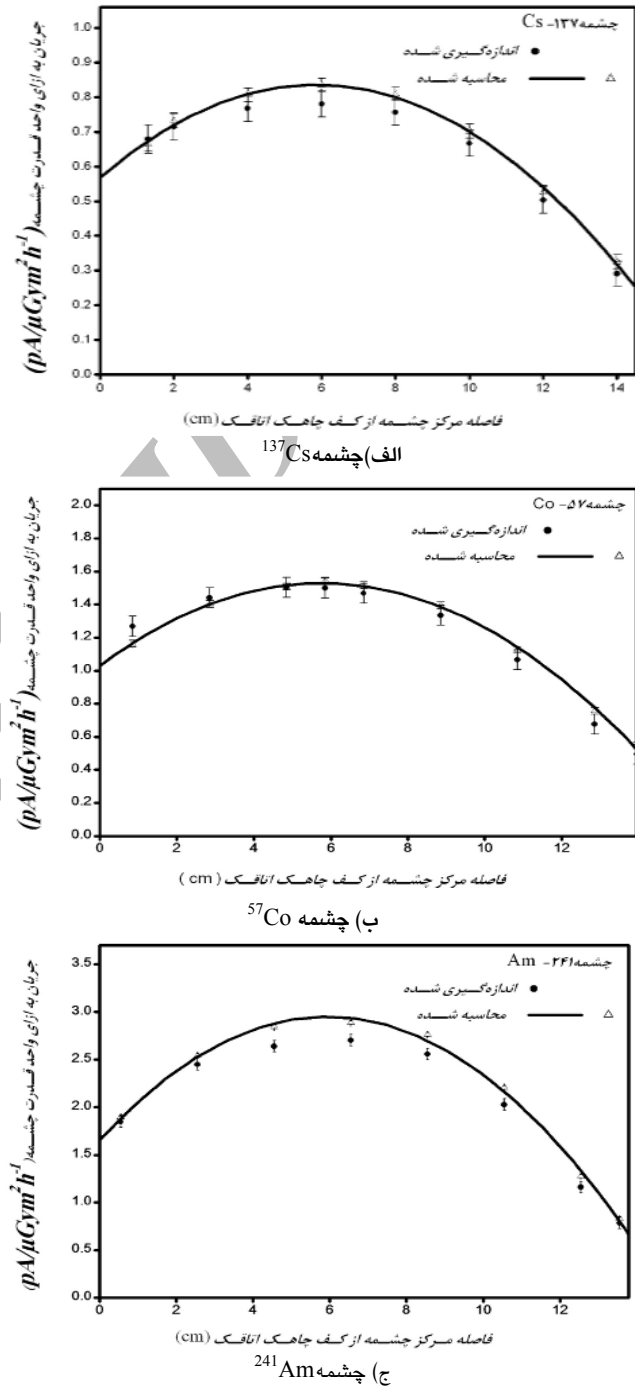
جدول ۶- تعیین $k_{polarity}$ در اندازه‌گیری‌های پاسخ اتفاق یونش چاهکدار ساخته شده

چشممه	$+300\text{V}$	-300V	$k_{polarity}$
^{137}Cs	$0,128 \text{ (nA)} \pm 0,1$	$0,128 \text{ (nA)} \pm 0,2$	$1,000 \pm 0,3$
^{57}Co	$4,222 \text{ (pA)} \pm 0,2$	$4,216 \text{ (pA)} \pm 0,2$	$1,000 \pm 0,4$
^{241}Am	$1,455 \text{ (pA)} \pm 0,6$	$1,471 \text{ (pA)} \pm 0,3$	$0,995 \pm 0,7$

۴- بحث و نتیجه‌گیری

طبق نتایج بدست آمده، جریان نشتی اتاقک ساخته شده با توجه به مقدار پاسخ اتاقک برای چشممه‌های مورد اندازه‌گیری قابل صرفنظر کردن است. بررسی مقادیر اندازه‌گیری شده برای هر یک از چشممه‌های ^{137}Cs ، ^{57}Co و ^{241}Am و پایین بودن مقدار خطأ در اندازه‌گیری پاسخ اتاقک ساخته شده در شکل ۴ نشان می‌دهد که پاسخ اتاقک ساخته شده برای هر یک از چشممه‌های مذکور تکرار پذیر است و مکان مرجع اتاقک ساخته شده برای هر یک از چشممه‌های ^{137}Cs ، ^{57}Co و ^{241}Am در ۶ سانتیمتری کف اتاقک بدست آمد. با توجه به مقادیر $k_{Recombin}$ که در جدول ۳ آمده است اثر بازترکیب در اتاقک یونش مورد نظر بسیار کم است. هم چنین با بررسی مقادیر $k_{Polarity}$ در جدول ۴ دیده می‌شود که برای چشممه‌های ^{137}Cs ، ^{57}Co و ^{241}Am مقدار $k_{Polarity}$ نزدیک به ۱ است و از اینرو می‌توان از تأثیر این ضریب در اندازه‌گیری‌ها صرفنظر کرد. و نزدیک بودن مقادیر اندازه‌گیری در فاصله‌های مختلف زمانی نشان دهنده پایداری پاسخ اتاقک است.

در شکل ۴ بررسی مقادیر جریان اندازه‌گیری شده به ازای واحد قدرت چشممه در مکان‌های مختلف چشممه در اتاقک ساخته شده برای چشممه‌های ^{137}Cs ، ^{57}Co و ^{241}Am و مقایسه آن با مقادیر متناظر محاسبه شده اتاقک یونش چاهک‌دار شبیه‌سازی شده برای هر یک از چشممه‌های مذکور نشان می‌دهد که پاسخ اندازه‌گیری شده اتاقک یونش چاهک‌دار ساخته شده رفتار مشابهی با نتایج حاصل از پاسخ محاسبه شده اتاقک یونش چاهک‌دار شبیه‌سازی شده برای چشممه‌های ^{137}Cs ، ^{57}Co و ^{241}Am دارد و مکان مرجع اندازه‌گیری برای هر یک از چشممه‌های مذکور در هر دو اتاقک یکی است که این توافق چند جانبی می‌تواند تأیید محکمی بر درستی اندازه‌گیری‌ها و شبیه‌سازی‌های انجام شده باشد و بنابراین از کد MCNP-4C می‌توان برای بررسی پارامترهای موثر در پاسخ اتاقک و بهینه‌کردن پاسخ آن در طراحی و ساخت



شکل ۴- مقایسه مقدار جریان اندازه‌گیری شده در اتاقک یونش چاهک‌دار ساخته شده و پاسخ محاسبه شده با شبیه‌سازی آن بر حسب مکان‌های مختلف چشممه در طول محور اتاقک برای (الف) چشممه ^{137}Cs ، (ب) چشممه ^{57}Co و (ج) چشممه ^{241}Am

۵- تشرک و قدردانی

از کارکنان کارگاه تراشکاری پژوهشکده تحقیقات کشاورزی، پزشکی و صنعتی سازمان انرژی اتمی ایران به ویژه آقای ابراهیم عینعلی به خاطر همکاری‌های صمیمانه در انجام این تحقیق سپاسگزاریم و یاد و خاطره شادروان فرهاد صفری که در این تحقیق متحمل زحمات زیادی شدند را نیز گرامی می‌داریم.

اتاقک‌های یونش چاهکدار مرتبط با هوای آزاد برای چشممه‌های با انرژی مختلف استفاده کرد. همچنین تجربه به دست آمده در ساخت موفقیت‌آمیز این نوع اتاقک یونش راهگشای توسعه ساخت این نوع آشکارسازها و همچنین انواع دیگر آشکارسازها در کشور می‌باشد.

منابع

1. Solimanian A, Aalipour A, Ghafoori M, Standard Calibration of ^{137}Cs Brachytherapy Sources, Journal of Nuclear Science & Technology, 2005;56:34-53.
2. Ahmad N, Mirza NM, Mirza SM, Rashid T, Tufail M, Khan LA, Design and Study of Characteristics of a Three Electrode Experimental, Nuc Inst Meth Phy Res 1992; A321403-409
3. Pai S, Reinstein LE, Evaluation of a New Sealed Reentrant Well Chamber for HDR and LDR Brachytherapy Calibration, Med Phys 1998; 25(5):719-721.
4. Ho AK, Sibata CH, Desouza CN, Castighone R, Shin KH, Evaluation of a Well-type Ionization Chamber for Calibration of HDR and LDR Brachytherapy Sources, Med Dosi 1995; 20(1):31-34.
5. Meiler IRJ, Sibata CH, Ho AK, Souza CD, Shin KH, A Well-type Ionization Chamber Geometric Correction Factor, Phys Med Biol 1996; 41,1141-1148.
6. Buerman L, Kramer HM, Schrader H, Selbach HJ, Activity Determination of ^{192}Ir Solid Sources by Ionization Chamber Measurement Using Calculated Corrections for Self-absorption, Nuc Inst Meth Phy Res A1994; 339:369-376.
7. International Atomic Energy Agency, Calibration of Photon and Beta Source Used in Brachytherapy, IAEA-TECDOC- 1274, March 2002.
8. PTW-Freiburg Instruction Manual for HDR Chamber Type 33004, D432. 131. 0/1.
9. Michael G, Mitch MG, Zimmerman BE, Lamperti PJ, Seltzer SM, Cursey BM, Well-ionization Chamber Response Relative to NIST Air Kerma Strength Standards for Prostate Brachytherapy Seeds, Med Phys 2000;27(10):2293-2296.
10. Briesmeister JF, MCNP-4C, A General Monte Carlo N Particle Transport Code System Version 4C, Los Alamos National Laboratory LA-13709-M (2000)
11. Chilton AB, Shultis JK, Faw RE, Principles of Radiation Shielding, Prentice- Hall, INC, Englewood Cliffs, 1984; NJ 07632
12. Martin JE, Physics for Radiation Protection, New York, John Wiley & Sons Inc, 2000

13. Raisali Gh, Hamidi S, Dehganimoghadam M, Ghafoori M, Solimanian A, Investigation on the Effect of Chamber Wall Aluminum Alloy on the Response of Free-Air Well-Type chamber for ^{137}Cs , ^{57}Co , and ^{241}Am Gamma Rays, Journal of Nuclear Science & Technology 2007; 41(4):36-43.
14. Austrian Research Center Seibersdorf, Secondary Standard Ionization Chamber Type LS-01, Nov. 1984.
15. Knoll GF, Radiation Detection and Measurement, 3rd ed, John Wiley & Sons Inc, New York 1999.
16. Park SH, Kim HS, Kim YK, Kang SM, Kim JC, Kim JK, Saturation Characteristics of the Ionization Chamber at a Low Dose Rate, Radiation Physics and Chemistry 2005; 73:248-253.

Archive of SID